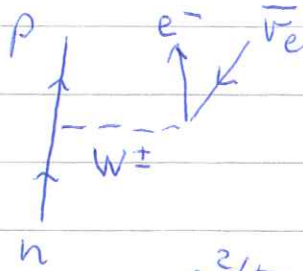


$V_{em}(r) = \frac{e^2}{r}$  Fouriertransformation  $\rightarrow V_{em}(q^2)$

$V_{em}(q^2) = \int V_{em}(r) \exp(\frac{i}{\hbar} \vec{q} \cdot \vec{r}) d\vec{r} = \frac{e^2 \hbar^2}{q^2}$

Propagator des masselosen Photons  $\frac{1}{q^2}$ , dimensionslose Kopplungskonstante  $\alpha = \frac{e^2}{\hbar c} \approx \frac{1}{137}$

Schwache WW  
z.B.  $\beta$ -Zerfall  
des Neutrons  
 $m_W = 80.4 \text{ GeV}$



$V_{wh}(r) = \frac{g^2}{r} \exp(-\frac{m_W r}{\hbar c})$

$V_{wh}(q^2) = \frac{g^2}{q^2 - m_W^2}$

$g^2/\hbar c \approx 4 \cdot 10^{-3}$

starke WW

Nukleon-Nukleon WW  
Yukawa, Pion Austausch  
 $m_\pi \approx 140 \text{ MeV}$



$V_{strong}(r) = \frac{g_s^2}{r} \exp(-\frac{m_\pi r}{\hbar c})$

$V_{strong}(q^2) = \frac{g_s^2}{q^2 - m_\pi^2}$

auf noch kleinere Skala starke WW von Quarks durch Austausch von Gluonen

für schwere Quarks  
Potentialbild sinnvoll, z.B. Charm-Qu.  
 $g_s^2/\hbar c \approx 15$   $\alpha_s = \frac{g_s^2}{4\pi}$   
stark  $q^2$ -abhängig



$V(r) = -\frac{\alpha_s}{r} + \underbrace{kr}_{\text{Confinement}}$   
Coulomb-artiger Teil, bei kleinem  $q^2$  ist  $\alpha_s \approx O(1)$   
 $k \approx 1 \frac{\text{GeV}}{\text{fm}}$

WW werden durch Feldtheorien beschrieben

em WW  $\leftrightarrow$  QED (Nobelpreis 1965 Feynman, Schwinger, Tomonaga)

em + schwache WW  $\leftrightarrow$  elektroschwaches Standardmodell  
(Nobelpreis 1979 Glashow, Salam, Weinberg)

starke WW  $\leftrightarrow$  Quantenchromodynamik QCD  
(Gross, Politzer, Wilczek Nobelp. 2004)

relative Stärke: stark  $g^2$ -abhängig wegen  
Masse Austauschboson und  $g^2$ -abhängigen koppl. konst.  
bei  $g^2 = 1 \text{ GeV}^2$   $V_{\text{strang}} / V_{\text{em}} \approx 2 \cdot 10^3$   
 $V_{\text{em}} / V_{\text{Wk}} \approx 1.2 \cdot 10^4$

typische Reichweite: gegeben durch Masse Austauschboson  $\Delta x \cdot m \approx \hbar c / 2$

starke WW (Pionenaustausch)  $\Delta x \approx 1.4 \cdot 10^{-15} \text{ m}$

schwache WW ( $W, Z$ -Bosonen)  $\Delta x \approx 2 \cdot 10^{-18} \text{ m}$

em (masseloses  $\gamma$ )  $\Delta x = \infty$

starke WW (Gluonenaustausch) gegeben durch  
Confinement, Größenordnung  $10^{-15} \text{ m}$

 Abb 5.1

## 5.4 Der Teilchenzoo

3 Sorten von Elementarteilchen:

Leptonen, Quarks  $\leadsto$  aus Quarks zusammengesetzte Teilchen "Hadronen", Austauschteilchen die WW vermitteln "Vektorbosonen" oder "Eichbosonen"

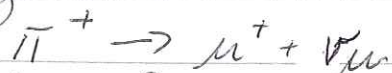
a) Leptonen - 3 elektrisch negativ geladene, 3 neutrale  
geordnet in 3 Generationen, dazu 6 Antiteilchen  
m. entgegengesetzter Ladung (siehe unten)

Gen.	geladen	neutral	Leptonzahl	Massen (GeV)	Lebensdauer
1	$e^-$	$\nu_e$	$L_e = 1$	$m_e c^2 = 0.511 \text{ MeV}$	$\infty$ stabil
2	$\mu^-$	$\nu_\mu$	$L_\mu = 1$	$m_\mu c^2 = 106 \text{ MeV}$	$2.2 \mu\text{s}$
3	$\tau^-$	$\nu_\tau$	$L_\tau = 1$	$m_\tau c^2 \approx 1777 \text{ MeV}$	$3 \cdot 10^{-13} \text{ s}$

jede Generation charakterisiert durch eine ladungsartige Quantenzahl, die Leptonzahl  $L$ , die zumindest in starken und elektromagnetischen WW erhalten sind. Erhaltung auch gute Orientierung für schwache WW, aber Suchen nach Verletzung.

Alle Leptonen haben Spin  $S = 1/2$   
punktformig, soweit Messung geht,  $r < 10^{-18} \text{ m}$   
 aus Übereinstimmung Elektron  $g$ -Faktor mit QED Berechnung

Myon in kosmischer Strahlung entdeckt  
 (Anderson <sup>2 Neddermeyer</sup> 1936), zuerst wurde angenommen, dass es das Teilchen ist, das Kernkraft vermittelt (Yukawa-Teilchen), fälschlicherweise  $\mu$ -Meson genannt zuerst. Ende 1940er realisiert:



$\hookrightarrow$  Pion, vermittelt NN-WW

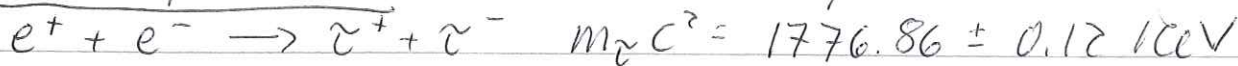
Myon ist instabil, zerfällt mit Lebensdauer



$$L_e \quad 0 \quad 1 \quad -1 \quad 0$$

$$L_\mu \quad 1 \quad 0 \quad 0 \quad 1$$

Tau-lepton  $\tau$  1975 in Stanford entdeckt (M. Perl)




$$\text{Lebensdauer } \tau_\tau = (290.3 \pm 0.5) \cdot 10^{-15} \text{ s} \quad c\tau \approx 87 \mu\text{m}$$

wegen großer Masse viele mögliche Zerfallskanäle

Neutrinos elektrisch neutral, haben Masse, Neutrino-

Oszillationen messen quadratische Massen-  
differenzen  $\Delta m^2$ , absolut nur Obergrenze be-  
kannt. Aus Tritium  $\beta$ -Zerfall  $m_{\nu_e} c^2 < 2 \text{ eV}$

$\nu_\mu \neq \nu_e$  entdeckt 1960er Brookhaven Nat. Lab.  
Zu jedem Teilchen gibt es ein Antiteilchen  
mit identischer Masse, Lebensdauer, Spin, aber  
entgegengesetzter "Ladung" (elektrische Ladung,  
aber auch alle anderen Ladungspartikelenergie additi-  
ven Quantenzahlen wie z.B. Leptonzahl,  
Baryonenzahl, Strangeness ...)

erstes Beispiel: Positron  $e^+$ , erscheint in Dirac-  
gleichung als 2. Lösung, Konsequenz von  
 $E^2 = p^2 c^2 + m^2 c^4$  "Elektron mit negativer Energie"  
bewegt sich in externem Feld als hätte es eine  
positive Ladung (Dirac 1929). 1931 postuliert Dirac  
Existenz eines noch un beobachteten "Antielektron"  
gleiche Masse, das mit Elektron annihiliert.  
Positron 1932 von Anderson in kosmischer Strah-  
lung entdeckt  Fig. 5-2

"Ladungserhaltung" erlaubt, daß Teilchen und  
Antiteilchen sich vernichten  $e^- \rightarrow \gamma$   
 $e^+ + e^- \rightarrow \gamma\gamma$   $e^+ \leftarrow \gamma$

ebenso paarweise Erzeugung, Paarbildung

$$\gamma + \gamma \rightarrow e^+ + e^-$$

↳ WW Feld eines Atomkerns

analog Antiproton  $\bar{p}$  und Proton  $p$  } typische Notation:  
Antineutron  $\bar{n}$  und Neutron  $n$  } über Symbol  
Antineutrino  $\bar{\nu}_e$  und Neutrino  $\nu_e$

## Tabelle der 6 Antileptonen

Generation	Teilchen		Leptonzahl
1	$e^+$	$\bar{\nu}_e$	$L_e = -1$
2	$\mu^+$	$\bar{\nu}_\mu$	$L_\mu = -1$
3	$\tau^+$	$\bar{\nu}_\tau$	$L_\tau = -1$

b) 6 Quarks, je 3 mit Ladung  $q = +2/3 e$  und 3 mit Ladung  $q = -1/3 e$ , alle haben Spin  $S = 1/2$  und eine zusätzliche ladungpartige Quantenzahl: 6 Quarkflavors, ausgezeichnet durch Flavorquantenzahl → Fig 5-3

Isospin  $I = 1/2$   $I_3 = +1/2 \rightsquigarrow$  u up-Quark  
 $-1/2$  d down-Quark

Strangeness  $S = -1$  s strange-Quark

Charmer  $C = 1$  c charm-Quark

Beauty  $B = -1$  b beauty- oder bottom-Quark

Topness  $T = 1$  t top-Quark

Quarks kommen nicht frei in der Natur vor  
 → "Confinement"

Suche in der Natur, typische Werte  $\frac{\text{Quark}}{\text{Nukleon}} < 10^{-22}$   
 in kosmischer Strahlung Fluß  $< 9.2 \cdot 10^{-15} / \text{m}^2 \cdot \text{sr} \cdot \text{s}$   
 Fluß kosm. " insgesamt  $\approx 10^4 / \text{m}^2 \cdot \text{sr} \cdot \text{s}$

Produktionsquerschnitt am Beschleuniger  $< 2 \cdot 10^{-39} \text{ cm}^2$   
 in pp am LHC vgl  $\sigma_{\text{inel}} = 100 \text{ mb} = 10^{-25} \text{ cm}^2$

Konzept Quarks: 1964 Vorschlag (unabhängig) von Gell-Mann und Zweig; damals 3 Quarks, 4. Quark 1974 gleichzeitig in Brookhaven und

Stanford entdeckt als  $c\bar{c}$ -Zustand, Name

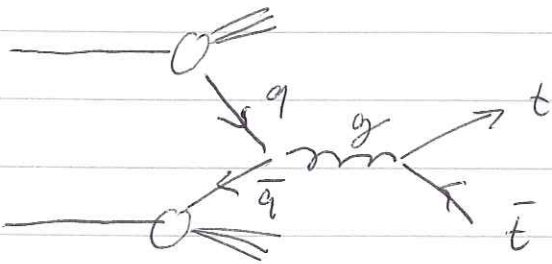
S. Ting & Co BNL  $p + Be \rightarrow \gamma + X$   $\sqrt{s} = 7.5 \text{ GeV}$

B. Richter & Co SPEAR/SLAC  $e^+ + e^- \rightarrow \psi$   $\sqrt{s} = m = 3.097 \text{ GeV}$   
 heißt 'Doppelname'  $\gamma/\psi$

1977 wurde in Stanford b-Quark als 5. Quark ent-  
 deckt  $400 \text{ GeV } p + Be, Cu, Pt \rightarrow \gamma + X$   $m_{\gamma c} \approx 10 \text{ GeV}$   
 $\hookrightarrow b\bar{b}$ -Zustand 15

seitdem Suche nach dem 6. Quark, 1995 am  
 Tevatron in Fermilab entdeckt

$p + \bar{p} \rightarrow t\bar{t} + X$   $\sqrt{s} = 1.8 \text{ TeV}$



Top-Quark zerfällt mit  
 $\tau = 4 \cdot 10^{-25} \text{ s}$  in b-Quark und  
 $W^+$ -Boson  $t \rightarrow b + W^+$

Quarks haben eine zusätzliche Ladung, über die  
 sie wechselwirken, sogenannte "Farbladung",  
 und zwar eine von 3 möglichen  $r, g, b$

Wie bei den Leptonen gibt es 6 Antiteilchen:  
 6 Antiquarks mit entsprechenden Antiladungen  
 (einschließlich Antifarben)

z.B. Antishange-Quark  $\bar{s}$   $q = +1/3e$   $S = 1$  in  
 $\bar{r}$  oder  $\bar{g}$  oder  $\bar{b}$

Massen in der Tabelle: sogenannte "Strangquark-  
 massen", können bis auf Topquark nicht  
direkt gemessen werden, folgen aus Eigenschaften  
 von gebundenen Quark-Zuständen (Hadronen) und

theoretischen Konzepten, Besonders schwierig für leichte Quarks  $\Rightarrow$  Fig 5-4

Warum so schwierig? Zu gebundenen Zuständen ändern sich durch eine spontane Symmetriebrechung (chirale Symmetriebrechung) die Strongquarkmassen in sogenannten "konstituenter-Quarkmassen" (Maurer, Nobelpreis 2008)

z.B.  $u$ -Quark konstituenterquarkmasse  $\approx 300 \text{ MeV}$

Zusammenstellung der elementaren Fermionen  $\Rightarrow$  Fig 5-5  
und der die fund. WW vermittelnden

Gleichbosonen

$\Rightarrow$  Fig 5-6

gebundene Zustände aus Quarks: "Hadronen"  
zwei Typen

- 3 Valenzquarks unterschiedlicher Farbe  $\rightarrow$  "Baryonen" (z.B. Proton) sind Fermionen
- je 1 Valenzquark und Antiquark entgegengesetzter Farbe "Mesonen" (z.B. Pion) sind Bosonen

Quarks und Hadronen wechselwirken stark  
Leptonen (z.B. Elektronen) " nicht "  
alle wechselwirken elektromagnet. und schwach

Starke WW bindet Quarks in Nucleonen, Nucleonen zu Atomkernen, em WW bindet Atomkerne und Elektronen zu Atomen, können auch Myonen sein (myonische Atome)

Antimaterie: Antiprotonen und Antineutronen  $\rightarrow$  Antikern,  ${}^3\overline{\text{He}}$ ,  ${}^4\overline{\text{He}}$  in Kern-Kern koll. bei RHIC & LHC  
Antiwasserstoff am CERN (STAR & ALICE)

## 5.5 Zerfallsbreite

Zerfall eines instabilen Teilchens oder einer Resonanz  
nach radioakt. Zerfallsgesetz  $N(t) = N_0 \exp(-\lambda t)$

$$\lambda = \frac{1}{\tau} = \frac{\ln 2}{t_{1/2}} \quad (\text{siehe oben})$$

Zustand einer festen Energie  $E_r$  beschrieben durch  
Wellenfunktion  $\psi(t) = \psi_0 \exp(-iE_r t/\hbar)$

ortsabhängiger Teil d.  
Wellenfunktion

zeitabhängiger Teil der WF  
aus Schrödingergleichung

Wahrscheinlichkeit, Teilchen zu finden

$$\psi^* \psi = \psi_0^2 \quad \text{zeitlich konstant, kein Zerfall}$$

Ansatz für zerfallendes Teilchen: komplexe Energie  
 $E_r - i\Gamma/2$  mit  $\Gamma$  reell

$$\psi(t) = \psi_0 \exp(-iE_r t/\hbar) \exp(-\Gamma t/2\hbar)$$

$$\psi^* \psi = \psi_0^2 \exp(-\Gamma t/\hbar) \rightarrow \text{exponentieller Zerfall}$$

mit  $\frac{\Gamma}{\hbar} = \lambda = \frac{1}{\tau}$  oder  $\Gamma \tau = \hbar$

aus  $\psi(t)$  durch Fouriersummenformation  $\psi(\omega)$

$$\begin{aligned} \psi(\omega) &= \frac{1}{\sqrt{2\pi}} \int_0^{\infty} \psi(t) \exp(i\omega t) dt \\ &= \frac{\psi_0}{\sqrt{2\pi}} \int_0^{\infty} \exp\left(-t \left(\frac{i}{\hbar}(E_r - E) + \frac{\Gamma}{2\hbar}\right)\right) dt \\ &= \frac{\psi_0}{\sqrt{2\pi}} \frac{i\hbar}{(E - E_r) + i\Gamma/2} \end{aligned}$$

Wahrscheinlichkeit  $P(E) = A \psi(\omega) \psi^*(\omega)$

Normierung  $A = \Gamma/\hbar^2 \psi_0^2$  für  $\int P(E) dE = 1$



5-14

$$P(E) = \frac{\Gamma}{2\pi} \frac{1}{(E-E_r)^2 + \Gamma^2/4}$$

Lorentz- oder  
Breit-Wigner Verteilung  
Peak bei  $E_r$ , FWHM:  $\Gamma$

Aufgrund seiner endlichen Lebensdauer besitzt Teilchen Energiebreite  $\Gamma$

$\Gamma$  bzw.  $\tau$  werden durch freigesetzte Energie (Phasenraum) und Art d. WW bestimmt

stark	$\Delta(1232)$	$\tau = 10^{-23} \text{ s}$	$\Gamma = 100 \text{ MeV}$
em	$\pi^0$	$10^{-18} \text{ s}$	$1 \text{ keV}$
schwach	$\pi^\pm$	$10^{-8} \text{ s}$	$10^{-7} \text{ eV}$
	$n$	$10^3 \text{ s}$	$10^{-18} \text{ eV}$

## 6. Strukturinformation aus Streuexperimenten

Struktur: räumliche Verteilung von Masse und Ladung  $\rho(x)$  und  $\rho_e(x)$ . Auch Verteilung der Magnetisierung  $\vec{m}$  ausgedehnte Objekte mit magn. Moment

Information aus Streuexperimenten: messe Wirkungsquerschnitt als Funktion von Streuwinkel oder Impulsübertrag. Ablenkung eines geladenen Teilchen im Coulombfeld e. geladener Targets.

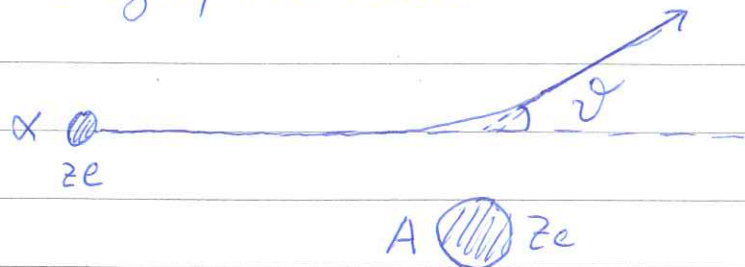
- Wahl der Energie: de Broglie Wellenlänge muß von der Größenordnung der auflösenden Strahlung sein  $\lambda = \frac{hc}{pc}$

Atomkern  $\Delta x \approx 10 \text{ fm} \approx pc \approx 120 \text{ MeV}$

Sonst sieht man nur Atomkern als Ganzes

### 6.1 Elastische Streuung

a) Rutherfordstreuung von  $\alpha$ -Teilchen an Goldfolie und Entdeckung des Atomkerns (Rutherford, Geiger, Marsden 1908-1909)



Annahme: Streupartikel punktförmig, geladen kin. Energie  $\ll$  klein gegen Masse Goldkern

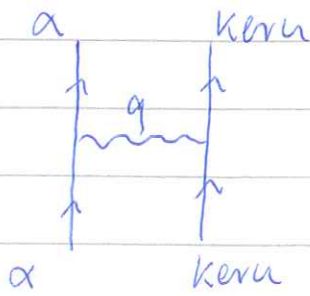
→ nichtrelativistisch, keine Rückstoß

$$\frac{d\sigma^R}{d\Omega} = \frac{(zZe^2)^2}{16T^2} \frac{1}{\sin^4(\theta/2)} \quad \leftarrow \text{Rutherford Streuformel}$$

Messung des Wirkungsquerschnitts in Streuexperimenten mit  $\frac{d\sigma^R}{d\Omega}$  zeigte: Atomkern kleiner als Annäherung  $\alpha$ -Teilchen an Kern

größte Annäherung bei Rückwärtsstreuung: kin. Energie  
gleich Coulombimpulsion  $T = \frac{e^2 z^2}{D}$

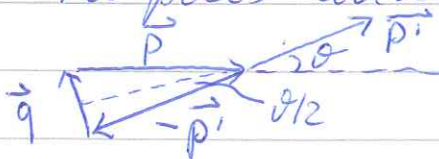
5 MeV  $\alpha$ -Teilchen auf Gold  $\approx D = 45 \text{ fm}$



elastische Streuung: Photon überträgt  
4 eV Impuls  $q$   $q^2 = (E - E')^2 - (\vec{p} - \vec{p}')^2$   
im cm-System für elastische Streuung

$$E = E' \quad |\vec{p}| = |\vec{p}'| \quad q^2 = -\vec{q}^2$$

Impuls ändert nur seine Richtung



$$\vec{q} = \vec{p} - \vec{p}'$$

$$|\vec{q}|/2 = |\vec{p}| \sin(\theta/2)$$

quantenmechanisch wird der Wirkungsquerschnitt  
durch eine Streuamplitude  $f(\vec{q}^2)$  beschrieben

$$\frac{d\sigma}{d\Omega} = |f(\vec{q}^2)|^2$$

geht Streuung eines glatten Teilchens am  
Coulombpotential eines Atomkerns, sphärisch-symm.,  
ein- und auslaufende Teilchen ebene Wellen  
(Born'sche Näherung),  $\Psi_i = \exp(i\vec{p} \cdot \vec{r}/\hbar)$   $\Psi_f = \exp(i\vec{p}' \cdot \vec{r}/\hbar)$

$$f(\vec{q}^2) = -\frac{m}{2\pi\hbar^2} \int V(r) \exp\left(\frac{i\vec{q} \cdot \vec{r}}{\hbar}\right) d\vec{r}$$

$$= -\frac{2m}{q\hbar} \int r dr V(r) \sin\left(\frac{qr}{\hbar}\right) \quad \text{mit } q = |\vec{q}| \quad r = |\vec{r}|$$

Coulombpotential abgeschwächt durch Elektronen

$$V(r) = \frac{zZe^2}{r} \exp(-r/a) \quad \text{mit } a \approx 10^5 \text{ fm} = 1 \text{ \AA}$$

$$\leadsto f(\vec{q}^2) = - \frac{2mzZe^2}{q^2 + \hbar^2/a^2}$$

für Energien und Impulsüberträge  $q$  im MeV-Bereich kann  $(\hbar c)^2/a^2$  vernachlässigt werden

$$\frac{d\sigma}{d\Omega} = f(q^2) = \frac{4m^2 z^2 Z^2 e^4}{q^4}$$

für relativistische Teilchen wird Masse  $m$  durch totale Energie  $E \approx p$  ersetzt und mit  $d\sigma/dq^2 = d\sigma/d\Omega \cdot d\Omega/dq^2$

$\frac{d\sigma}{dq^2} \frac{[\text{fm}^2]}{[\text{MeV}^2]} = \frac{4\pi (zZ)^2 e^4}{q^4} \frac{[\text{MeV}^2 \text{fm}^2]}{[\text{MeV}^4]}$	einfachster Punkt-ladungsquerschnitt im c.m. System
---	---

im Laborsystem muß Rückstoß berücksichtigt werden  $\frac{d\sigma}{dq_L^2} = \frac{d\sigma}{dq_{cm}^2} \cdot \frac{E'}{E}$  mit  $E' = E \frac{1}{1 + \frac{zE}{m} \sin^2(\theta/2)}$

b) Streuung relativistischer Spin 1/2 Teilchen an Punktladung  $Ze$

elastische Elektronenstreuung, durch magnetische Moment Modifikation des Rutherford Querschnitts

$$\text{Mott-Querschnitt } \frac{d\sigma^M}{dq^2} = \frac{4\pi z^2 e^4}{q^4} \left(1 - \beta^2 \sin^2\left(\frac{\theta}{2}\right)\right)$$

WV von magnetischem Moment des Elektrons mit Strom durch bewegte Ladung des Kerns (Herleitung: relativistische Quantenmechanik)

c) Streuung an ausgedehnter Ladungsverteilung

$$\text{starke wie oben } f(\vec{q}^2) = -\frac{m}{2\pi\hbar^2} \int d\vec{r} V(r) \exp\left(\frac{i\vec{q}\cdot\vec{r}}{\hbar}\right)$$

mit Poisson-Gleichung  $\nabla^2 V = 4\pi \rho(r) Ze^2$

( $\int \rho(r) d\vec{r} = 1$ ) und Green'schem Theorem

$$\int d\vec{r} \exp\left(\frac{i\vec{q}\cdot\vec{r}}{\hbar}\right) V(r) = -\frac{\hbar^2}{q^2} \int d\vec{r} \exp\left(\frac{i\vec{q}\cdot\vec{r}}{\hbar}\right) \nabla^2 V(r)$$

$$\rightarrow \frac{d\sigma}{d\Omega} = |f(\vec{q}^2)|^2 = \frac{4m^2 Z^2 e^4}{q^4} \underbrace{\left| \int d\vec{r} \exp\left(\frac{i\vec{q}\cdot\vec{r}}{\hbar}\right) \rho(r) \right|^2}_{\text{Formfaktor } F(\vec{q}^2)}$$

Formfaktor  $F(\vec{q}^2)$

der Formfaktor ist die Fouriertransformierte der Ladungsverteilung und enthält im Wirkungsquerschnitt die ganze Strukturinformation

$$\boxed{\frac{d\sigma}{d\Omega} = \frac{d\sigma^R}{d\Omega} \cdot |F(\vec{q}^2)|^2} \quad \text{bzw.} \quad \boxed{\frac{d\sigma}{d\Omega} = \frac{d\sigma^R}{d\Omega} \cdot |F(\vec{q}^2)|^2}$$

spinloses Streutildchen  
 $\alpha \dots$

Elektronenstreuung

Beispiel: 400 MeV  $e^- + {}^{40}\text{Ca}$

 Fig. 6-1